

中国大陆若干群体的黑果蝇的 线粒体 DNA 多态性研究*

贾振宇^① 朱定良 庚镇城青塚正志^②

(复旦大学遗传所 上海 200433)

(日本东京都立大学生物系)

Q96.462.2

A

摘要 本文研究了果蝇 *D. virilis* 种群 *D. virilis* 线粒体 DNA (mitochondrial DNA, mtDNA) 的多态性。用 9 种限制性内切酶 *Xba* I, *Eco*R I, *Pst* I, *Hind* III, *Bgl* II, *Sac* I, *Sca* I, *Eco*R V 和 *Pvu* II, 对青岛、南京、上海、宁波与泉州 5 个 *D. virilis* 群体的 mtDNA 进行了限制性片段长度多态性(restriction fragments length polymorphism, RFLP)的研究。在 5 群体中, 发现 5 种不同的酶切图谱, 它们彼此之间的遗传差异 π 为 0.46%—1.76%, 群体内遗传差异 π_{gr} 为 0.00%—0.33%, 群体间的差异 d_{gr} 为 0.00%—0.82%。分布于中国大陆的 *D. virilis* 的群体间遗传差异在总遗传差异中所占比例 γ_{gr} 值为 24.62%。我们发现, *D. virilis* 的栖息环境对 mtDNA 的遗传变异有十分明显的影响, 而不同地理纬度的群体之间其遗传距离并无倾群(cline)表现。

关键词 *D. virilis* 群体, 线粒体 DNA(mtDNA), 限制性内切酶, 物理图谱, 多态性

多细胞动物线粒体 DNA(mtDNA)在分子进化研究中有许多独特的优越性(Nei, 1983)。首先, mtDNA 容易提取, 是一种便利的实验材料。其次, 动物的 mtDNA 基因组小, 约为 10700—19500 bp, 是多细胞动物最小核基因组的 1/25000(核基因组的大小一般为 4×10^8 — 4×10^{11} bp)。再次, 线粒体基因组不含基因间隔区(spacer)与内含子(intron), 无重复序列, 无不等交换, 无基因重组、倒位、易位等畸变, 也无核基因组中那种功能不清、令人困惑的片段。最后 mtDNA 系母系遗传, 不存在双亲遗传的遗传差异。因此, 相对核 DNA 来说, mtDNA 进化似乎沿着一条较为简捷的途径发展。学者们认为 mtDNA 是研究分子进化的有价值的模型。

根据对一些哺乳动物物种 mtDNA 比较研究的推测(Nei, 1983), 在原始物种分化的前 0.15 亿年(1.5×10^7 年)内 mtDNA 序列的变异速率大约为核 DNA 的 10 倍; 当物种分化时间超过 0.25 亿年(2.5×10^7 年)后, mtDNA 序列变异速率与单拷贝的核 DNA 相同或更小。这一说法提示, 研究近缘种或种内进化, mtDNA 将比核 DNA 提供更多、更明显的的数据。木村资生(Kimura, 1983)认为, 发生于 mtDNA 的无义突变速率 (3.82×10^{-7} / 年)是核 DNA 的无义突变率(5.5×10^{-8} / 年)的 7 倍。

* 中国自然科学基金会资助

①: 现在浙江省医学科学院(310013)

本文 1994 年 1 月 3 日收到, 同年 6 月 21 日修回

Nei 和 Li(1979)建立的“利用限制性内切酶研究遗传变异的数学模型”, 为研究 mtDNA 分子进化提供了便利的方法。分子进化学学者可利用它在研究 mtDNA 的 RFLP 之后推算出 mtDNA 核苷酸的差异。学者们利用 Nei 和 Li 的模型, 已对人、鼠、羊、果蝇、蟹等动物的 mtDNA 的多态性进行了研究(Ferris, 1983; Nei, 1982, 1983), 从中发现很多有价值的结果。

果蝇是遗传学研究的经典材料。Shah 等(1979)首先研究了果蝇 mtDNA 的种间、种内差异。他们用 4 种限制性内切酶 *Hap*II、*Hae*II、*Hind*III 和 *Eco*R I 比较研究了果蝇 *D. virilis*, *D. melanogaster*, *D. simulans* 的酶切图谱, 发现了在种间、种内均存在遗传差异, 但缺乏明确的讨论。Solignac 等(1986)研究了 *D. melanogaster* species subgroup 中的 8 个种的 mtDNA, 根据核苷酸差异得到的遗传距离, 绘出了 *D. melanogaster* subgroup 的进化系统树。此项工作对于我们研究 *D. virilis* 的 mtDNA 的进化具有借鉴意义。

果蝇 *D. virilis* 属 *D. virilis* 种群中的一个种, 是主要分布于亚洲的一个古老种。*D. virilis* 体黑色, 个体肥大, 体长约 3 mm, 体重 1.6—2.0 mg; 染色体 6 对, 其中常染色体 5 对, 性染色体 1 对, 具家栖性。Throckmorton(1983), H. Watabe 和 Higuchi 等人(实验室交流)认为 *D. virilis* 起源于东亚。中国大陆, 尤其是西南云贵高原很可能是 *D. virilis* 的起源地。中国大陆的 *D. virilis* 群体的多态性, 迄今国内外学者还未进行研究。所以, 这项研究具有开拓性质。我们研究了广布中国大陆的 5 个群体的 mtDNA 的遗传差异, 从 mtDNA 多态性方面探讨了 *D. virilis* 的进化问题。

1 材料和方法

1.1 果蝇的采集

实验所用果蝇 *D. virilis* 采自青岛、南京、上海、宁波、泉州的酿醋厂及南京的酱油厂。经日本果蝇分类学专家 H. Watabe 和 M. T. Toda 等鉴定, 确系 *D. virilis* species group 中的 *D. virilis*。

表 1 *D. virilis* 群体的简称地理位置采集地

Tab. 1 Abbreviations, Geographic sites and collecting sites of *D. virilis* populations

| 位 置 | 地 点 及 简 称 | | | | | |
|--------|-----------|--------|---------|--------|--------|--------|
| | 青 岛 QD | 南 京 NJ | 南 京' NJ | 上 海 SH | 宁 波 NB | 泉 州 QZ |
| 经度(东经) | 120.3° | 118.8° | 118.8° | 121.5° | 122.0° | 118.6° |
| 纬度(北纬) | 36.1° | 32.1° | 32.1° | 31.2° | 30.0° | 24.9° |
| 采集地 | 醋厂 | 醋厂 | 酱油厂 | 醋厂 | 醋厂 | 醋厂 |

南京': 将从南京酱油厂采集到的 *D. virilis* 与从南京醋厂采集到的 *D. virilis* 分为两个群体, 以便研究 *D. virilis* 栖息环境对 mtDNA 变异有无影响。

1.2 单雌系(isofemale line)的建立

将每一地方群体采集到的雌性个体分别饲养于含培养基的指管中, 由每一雌蝇繁衍出的后代为一个单雌系。

1.3 线粒体的提取

取羽化 2—3 天的 *D. virilis* 成虫, 匀浆后提取线粒体, 采用 SDS 破线粒体膜, 异丙

醇沉淀法提取线粒体 DNA(mtDNA)。

1.4 酶切、电泳

酶切反应体积 10 μ l(9 μ l mtDNA+1 μ l 酶切反应缓冲液);

酶量: 4—5 单位 / 反应管;

酶解条件: 37℃ 水浴 2 h 以上;

终止反应: 0℃ 下放置 5 min, 加 2 μ l 电泳前沿指示剂;

电泳检验: 0.7% 琼脂糖凝胶 (含 0.5 μ g/ml 溴化乙锭), TPE(0.08 M Tris-phosphate, 0.008 M EDTA) 电泳缓冲液。前沿指示剂: 0.2% 溴酚兰, 50% 蔗糖;

电泳条件: 恒压 60 V, 2.5—3 h;

电泳结果摄影: 将凝胶置于紫外波长为 242 nm 的倒置紫外灯下拍照。

1.5 数据处理

Nei 等(1979)在“利用限制性内切酶研究遗传差异的数学模型”中指出: 不同 DNA 序列相近程度越大, 其限制性内切酶酶切位点的位置、数目越相似。因此, 用酶切位点的差异可以估算同源 DNA 的核苷酸差异。

对于环状 DNA: $a = (g/2)^{r1} [(1-g)/2]^{r2}$, 其中 $r1, r2$: 限制性内切酶识别顺序中 G+C 与 A+T 的碱基对数, $r = r1 + r2$, g : DNA 中 G+C 的百分含量, a : 限制性内切酶在 DNA 上的识别位点数。

A: 不同 DNA 的核苷酸差异 (不同酶切图谱的 mtDNA 之间的核苷酸差异)
 $\pi = -(\ln \bar{S}) / r$ $\bar{S} = 2 n_{xy} / (n_x + n_y)$ (限制性内切酶在 DNA x, y 上的识别位点数为 n_x, n_y , x, y 共同具有的位点数为 n_{xy})。

B: 群体内核苷酸差异

$$\pi_{ij} = \frac{\eta}{\eta - 1} \sum_j X_i X_j \quad \pi_{ij} = \frac{\eta}{\eta - 1} \sum_j P_i P_j \quad \pi_{ij} \left(1 - \frac{1}{\eta}\right)$$

其中 η : 群体的大小; X_i, X_j 某一酶切图谱的 mtDNA 在群体中的预期比值; P_i, P_j 某一酶切图谱的 mtDNA 在群体中的实际所测比值;

C: 群体间的核苷酸差异

$$\pi_{xy} = \sum_j P_i P_j \pi_{ij}$$

净群体间核苷酸差异(不含群体内差异)

$$d_{xy} = \pi_{xy} - (\pi_x + \pi_y) / 2$$

D: 研究的种的所有群体的核苷酸差异

所有群体差异: $\pi_T = \sum_k X_k X_i \pi_{ki}$

其中 X_k, X_i 为第 k, i 的酶切图谱在所有群体中的平均比值。

所有群体的群体内平均差异:

$$\pi_s = \sum_{i=1}^j W_i \pi_i / \sum_{i=1}^j W_i$$

其中 W_i 为第 i 群体的大小

群体间差异: $\delta_{ST} = \pi_T - \pi_S$

群体间差异在总差异中的比例: $\gamma_{ST} = \delta_{ST} / \pi_T$

2 结果

本文利用 9 种限制性内切酶 *Xba* I、*Eco*R I、*Pst* I、*Hind* III、*Bgl* II、*Sac* I、*Sca* I、*Eco*RV 与 *Pvu* II 对 *D. virilis* 的 5 个地方群体：青岛(QD)、南京(NJ、NJ*)、上海(SH)、宁波(NB)、泉州(QZ)进行了酶切，得到了酶切图谱。

在所研究的各群体的单雌系 mtDNA 中，mtDNA 在大小上没有差异，均为 16.0 kb。

但是 5 个群体单雌系的 mtDNA 酶切图谱有 5 种类型：A、B、C、D、E，如示意图 1。(Drosophila 酶切图谱，国际上均以 *Xba* I 切点为开端，绘出其它限制性内切酶位点)。

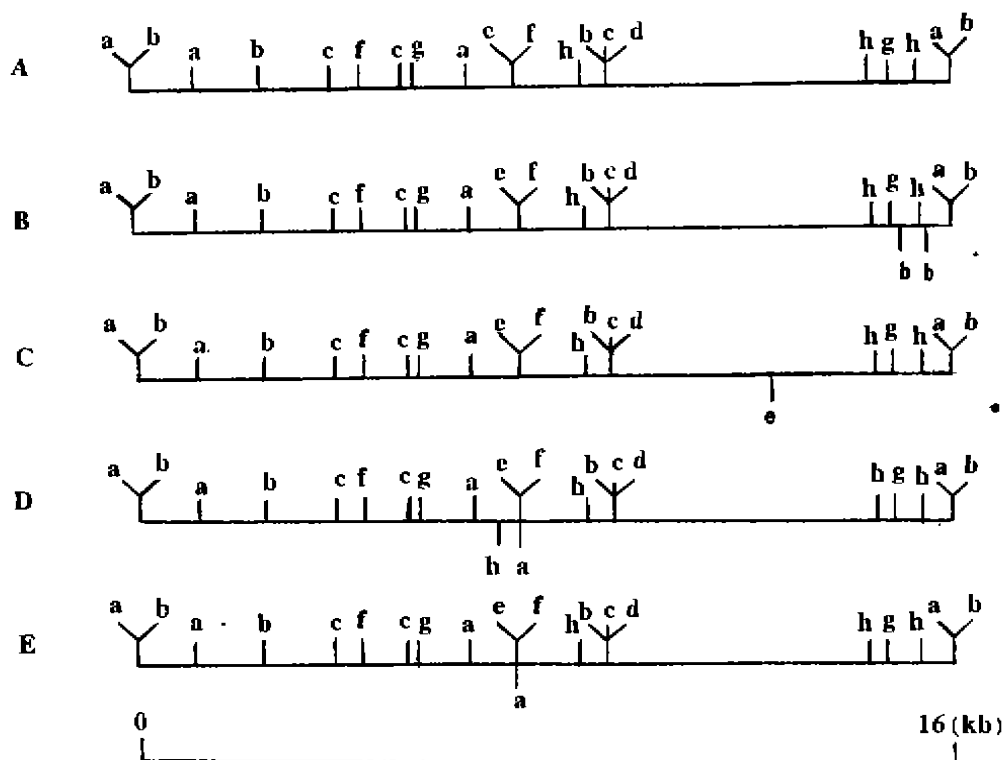


图 1 果蝇 *D. virilis* mtDNA 酶切图谱 5 种类型

Fig. 1 Five types of restriction map of mtDNA found in *D. virilis*

a: *Xba* I, b: *Hind* III, c: *Pvu* II, d: *Pst* I, e: *Bgl* II, f: *Sac* I, g: *Sca* I, h: *Eco*R I, i*: *Eco*RV.

(* A、B、C、D、E 5 种酶切图谱上均未发现有 *Eco*RV 的位点)

表 2 5 种酶切图谱的 mtDNA 在各群体中出现的频率

Tab. 2 Frequencies of five genotypes of mtDNA in populations

| 群体 | 酶 切 图 谱 | | | | | n |
|----------|---------|-----|-----|-----|-----|----|
| | A | B | C | D | E | |
| QD | 0.2 | 0.2 | 0.6 | | | 5 |
| NJ | 1.0 | | | | | 5 |
| NJ* | | | | 0.5 | 0.5 | 2 |
| SH | 0.8 | 0.2 | | | | 5 |
| NB | 1.0 | | | | | 5 |
| QZ | 0.8 | 0.2 | | | | 5 |
| $\sum n$ | | | | | | 27 |

群体按地理纬度排列, n : 所研究的单雌系数。

表 3 不同酶切图谱的 mtDNA 之间的遗传差异

Tab. 3 Genetic difference in five genotypes of mtDNA

| | A | B | C | D | E |
|---|----------|---------|----------|---------|--------|
| A | | 0.9474 | 0.9730 | 0.9474 | 0.9730 |
| B | 0.009006 | | 0.9231 | 0.9000 | 0.9231 |
| C | 0.004562 | 0.01334 | | 0.9231 | 0.9474 |
| D | 0.009006 | 0.01756 | 0.01334 | | 0.9231 |
| E | 0.004562 | 0.01334 | 0.009006 | 0.01334 | |

对角线右上方为 S 值, 左下方为 π_n 值。

表 4 *D. virilis* 群体内差异(π), 群体间差异(π_{xy} 与 d_{xy})Tab. 4 Inter- and Intra-population variation of *D. virilis*: π , π_{xy} and d_{xy} ($\times 10^{-3}$)

| | QD | NJ | SH | NB | QZ | NJ* |
|-----|-------|-------|-------|-------|-------|--------|
| QD | 2.508 | 4.538 | 5.592 | 4.538 | 5.592 | 11.115 |
| NJ | 3.284 | 0 | 1.801 | 0 | 1.801 | 6.784 |
| SH | 3.168 | 1.081 | 1.441 | 1.801 | 3.602 | 4.058 |
| NB | 3.284 | 0 | 1.081 | 0 | 1.801 | 6.784 |
| QZ | 3.618 | 1.081 | 2.161 | 1.081 | 1.441 | 4.058 |
| NJ* | 8.229 | 5.109 | 1.670 | 5.117 | 1.670 | 3.335 |

对角线方格内为 π , 右上方为 π_{xy} , 左下方为 d_{xy}

表 5 *D. virilis* 在中国大陆各群体的 π_T , π_S 及 γ_{ST} Tab. 5 π_T , π_S and γ_{ST} of *D. virilis* populations contributing in Chinese Continent

| π_T | π_S | δ_{ST} | γ_{ST} (%) |
|----------|----------|---------------|-------------------|
| 0.001430 | 0.001078 | 0.000352 | 24.62 |

π_T , π_S 及 γ_{ST} 分别为 *D. virilis* 在中国大陆各群体(不含 NJ* 群体)的总遗传差异、群体内遗传差异及群体间遗传差异在总遗传差异中所占比例。

表 6 *D. virilis* 的中国各地方群体与日本东京群体(TK)的遗传差异(d_{xy})Tab. 6 Genetic variation(d_{xy}) between Chinese populations and

Japanese Tokyo population of *D. virilis*

| | QD | NJ | SH | NB | QZ | NJ* |
|------|----------|----------|----------|----------|----------|----------|
| TK** | 0.003284 | 0.000000 | 0.001080 | 0.000000 | 0.001080 | 0.005117 |

** 数据来源于日本东京都立大学生物系的青塚正志。

表 7 *D. virilis* 的各酿醋厂群体间的遗传差异 d_{xy} 及酿醋厂
与酱油厂群体间的遗传差异

Tab. 7 Intrapopulational variation of *D. virilis* collected from soy plants and vinega plants

| | 酿醋厂群体(%) | 酱油厂群体(%) |
|-------|----------|----------|
| 酿醋厂群体 | 0.2029 | 0.4359 |

根据文中上述一系列数据, 绘出图 2 和图 3 两个示意图。

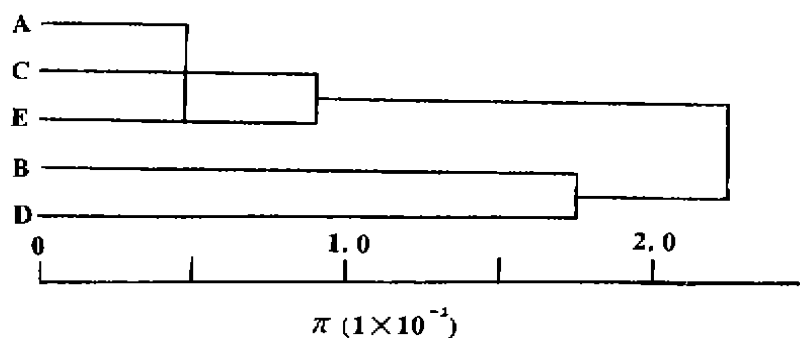


图 2 5 种酶切图谱的 mtDNA 的遗传距离示意图

Fig. 2 Diagram of genetic distance of five mtDNA genotypes

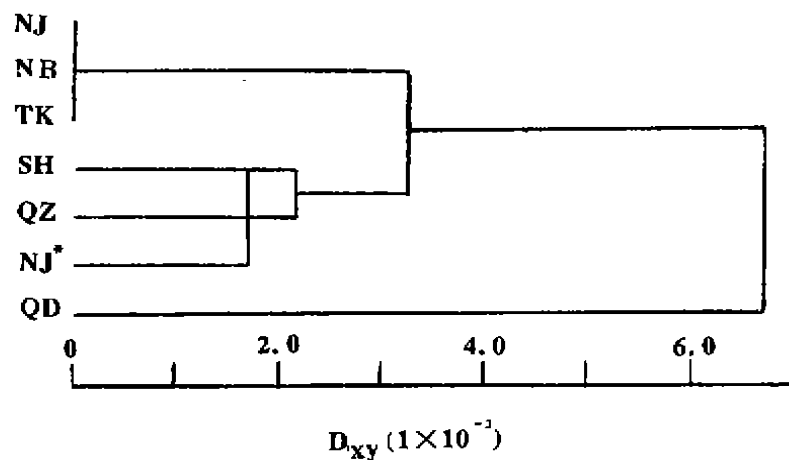


图 3 *D. virilis* 中国各地方群体及日本群体的遗传距离示意图

Fig. 3 Diagram of genetic distance of Chinese and Japanese population of *D. virilis*

3 讨论

3.1 Throchmorton 等(1983)认为, *D. virilis* 的分布范围在北纬 40° 以南, 研究 *D. virilis* 进化问题的 Oba(实验室交流)估计, *D. virilis* 分布南缘约在北纬 20° 左右。根据我们从

1983 以来历年的采集经验, 在 36.1° 的青岛采集到过 *D. virilis*, 南方, 在 24.9° 的泉州、23.1° 的广州、20.05° 的海口采集到过 *D. virilis*。我们的研究结果与 Throckmorton、Oba 的推测是吻合的。

本文研究了分布在中国大陆的 5 个群体, 纬度从青岛的 36.1° 到泉州的 24.9°, 跨度为 11.2°。我们研究的群体分布广泛, 接近了 *D. virilis* 的分布范围的北限与南限。

3.2 在对 5 个群体的 27 个单雌系的 mtDNA 作了 9 种限制性内切酶物理图谱分析后发现, 各个群体的 mtDNA 长度上没有差异, 均值为 16.00 kb, 即没有插入或缺失畸变。但发现有由于碱基置换突变引起的限制性内切酶识别位点的变化(增多或减少)。由于这种变异, 我们发现了 mtDNA 5 种不同类型的物理图谱: A、B、C、D 和 E。A、B 存在于所分析的 5 个群体中, 而 C 仅发现于青岛群体内, D、E 仅发现于南京酱油厂群体中。根据 Nei(1979)的数学模型, 不同酶切图谱类型的 mtDNA 之间的遗传差异 π 为 0.46%—1.76%(见表 3)。 π 表现群体内、群体间差异的程度。

3.3 由于一个群体内一般存在着若干种不同酶切图谱类型的 mtDNA, 从而造成群体内遗传差异 π_{gc} 。每个群体, 我们研究了 5 个单雌系(南京酱油厂只得到 2 个单雌系)。5 个群体的群体内差异为 0.00%—0.33%(见表 4)。分布于中国大陆的 *D. virilis* γ_{st} 值为 24.62%(见表 4), 即中国大陆 *D. virilis* 地方群体的总的遗传差异的 24.62%系群体间的遗传差异, 75.38%系群体内的差异。群体内存在着的差异可以用木村资生(Kimura, 1983)的中立学说的理论解释, 即 mtDNA 上的变异属不引起生存能力变化, 既无益于亦无害于生物生存的突变, 因而没有自然选择压力, 故可以保留于同一生活环境之下。对不同群体中不同类型 mtDNA 物理图谱以不同频度的出现, 可以有两种解释: 其一, 不同酶切图谱 mtDNA 的适应能力在不同群体中不同, 从而造成了不同 mtDNA 酶切图谱类型在不同群体中的频度不同。其二, 遗传漂变作用。*D. virilis* 从起源地向各地迁移, 迁移到各地的原始群体的大小不同, 由于基因漂变, 形成不同群体中不同酶切图谱类型的频度不同。

3.4 本论文研究所得到的群体间的遗传差异 d_{xy} 为 0.00%—0.82%(见表 4)。

探讨遗传距离与地理距离之间的关系。从青岛、南京、上海、宁波与泉州 5 个群体间的遗传差异与地理距离比较中发现, 在长江以南的 4 个群体: 南京、上海、宁波和泉州, 它们之间的遗传距离与地理距离之间无明显关系。而长江以南的 4 个群体与长江、黄河以北的青岛群体之间的遗传距离明显大于长江以南 4 个群体之间的遗传距离。这可能由于长江、黄河阻碍了 *D. virilis* 经常迁移, 因而阻碍了青岛群体与江南群体之间的基因交流。我们仅在青岛群体中发现 C 型 mtDNA, 在江南诸群体中均未发现, 可认为是上述观点的一个佐证。类似的研究结果亦有先例。Saunders(1985)等人在研究 Horseshoe crab (*Limulus polyphemus*) 的 mtDNA 差异时也发现, 水域是隔断不同地理群体之间基因交流的屏障。我们的研究结果也表明地理隔离在生物进化中起着重要作用。

3.5 本研究还对酱油厂群体与醋厂群体作了比较, 发现酱油厂群体与各酿醋厂群体之间的差异(见表 7)。D、E 两种酶切图谱类型的 mtDNA 仅存在于南京酱油厂群体内, 而在采自酿醋厂的 5 个群体中均没有, 这表明这种差异可能有适应意义, 可能由不同生活环境选择的结果。不同生活环境选择作用也表现在: 酱油厂群体与各酿醋厂群体的遗传差异大

于各酿醋厂群体间的遗传差异。酱油厂与酿醋厂的生产原料、工艺、产品的不同,造成栖息其中的 *D. virilis* 生活环境的差异,如食物、温度等。而栖息于不同酿醋厂的 *D. virilis* 的生活环境虽然地理环境不同,但由于各酿醋厂的生产原料、工艺、产品类似,因而 *D. virilis* 生活环境基本相似。因此出现了地理距离很近的 NJ 和 NJ* 间的遗传差异大于地理距离相差甚远的 TK 群体与现有中国大陆各酿醋厂群体间的遗传差异。

3.6 中国各地方群体与日本群体的遗传距离的比较结果(见表 6)表明,中国大陆群体与日本东京群体的 mtDNA 的遗传距离很近,没有明显差异。这一结果可能由于所研究的东京群体的单雌系太少(仅一个单雌系),数据有较大偏差,未反映出东京群体的真实遗传状况,也可能是日本东京群体起源于中国大陆某地。东京群体 mtDNA 的酶切图谱属 A 型,而 A 型普遍存在于中国大陆的各群体中。因而做出上述推断。还可以认为, A 型具有较强的生存能力,既能适应大陆,也能适应日本的环境。日本与大陆虽有日本海相隔,但日本列岛与大陆分开却只有不长的历史,在新生代内。因此,东京群体起源于大陆的解释是有根据的。

H. Watabe 和 M. T. Toda 等(实验室交流, 1989)认为, *D. virilis* 的起源地在中国,且很可能在华南地区。*D. virilis* 究竟起源于哪里,以及怎样演化成今天的分布状态?在进化学上是一个很有趣的问题。探明 *D. virilis* 的起源与演化问题,对解决其它果蝇种属的起源、演化也有借鉴作用,同时对解决进化学上的中立学说与综合进化论的纷争亦是有意义的。

参 考 文 献

- Ferris S D *et al.*, 1983. Mitochondrial DNA evolution in mice. *Genetics*, 105: 681-721.
- Kimura M., 1983. The neutral theory of molecular evolution, Cambridge, U. K.: Cambridge University Press, 34-50.
- Nei M, Li W H, 1979. Mathematical model for studying genetic variation in terms of restriction endonucleases. *Proc. Natl. Acad. Sci., U. S. A.*, 76(10): 5269-5273.
- Nei M, Tajama F, 1981. DNA polymorphism detectedable by restriction endonucleases. *Genetics*, 97: 145-163.
- Nei M, 1982. The unfolding genome, In: Human genetics, Part A, New York: Alan R. Liss, Inc., 167-181.
- Nei M, Koehn R K, 1983. Evolution of genes and proteins. Sunderland, MA, U. S. A.: Sinauer Associates, Inc., 62-88, 147-164.
- Saunders N C *et al.*, 1986. Genetic variation and geographic differentiation in mitochondrial DNA of the horseshoe crab, *Limulus polyphemus*. *Genetics*, 112: 613-627.
- Shah D M, Langley C H, 1979. Inter- and intraspecific variation in restriction maps of *Drosophila* mitochondrial DNAs. *Nature*, 281: 696-699.
- Solignac M *et al.*, 1986. Mitochondrial DNA evolution in the *melanogaster* species subgroup of *Drosophila*. *J. Mol. Evol.*, 23: 31-40.
- Throckmorton L H, 1983. The genetics and biology of *Drosophila*, 3b. London: Academic Press Inc. Ltd. 227-289.

**A STUDY ON POLYMORPHISM OF MITOCHONDRIAL
DNA (mtDNA) IN POPULATIONS OF
D. virilis DISTRIBUTING
IN CHINESE CONTINENT***

Jia Zhenyu** Zhu Dingliang Geng Zhencheng

(Institute of Genetics, Fudan University, Shanghai 200433)

T. Aotsuka

(Department of Biology, Tokyo Metropolitan University)

Abstract

Extensive polymorphism within *D. virilis* species has been studied in this paper. We analyzed physical maps of mitochondrial DNA (mtDNA) from five populations distributing in Chinese continent using nine restriction endonucleases (*Xba* I, *Eco*R I, *Pst* I, *Hind* III, *Bgl* II, *Sac* I, *Sca* I, *Eco*R V and *Pvu* II). Five genotypes of mtDNA are found in all the five populations. The genetic difference π between the five genotypes is 0.46%–1.76%. Genetic variation within population π_y is 0.00%–0.33%. Genetic variation between populations d_{xy} is 0.00%–0.82%. The γ_{st} of *D. virilis* species in Chinese continent is 24.62%. We have found the life environment of *D. virilis* has an effect on genetic variations of mtDNA, but not found the relationship between geographic distance (latitude degree) and inter-population genetic difference (d_{xy}).

Key words *D. virilis* population, Mitochondrial DNA(mtDNA), Restriction endonuclease, Physical map, Polymorphism

* This project is supported by the fund of the Chinese Natural Science Fund Committee

** The author now is in Zhejiang Academy of Medical Sciences